

舞鶴工業高等専門学校 正員 田中祐一朗

1. はしがき：移動床開水路式の抵抗の問題は、河川水理学上の基本問題として従来より種々の研究が行はれてきたが、未だ十分な解明を見ていない。これは河床に形成された Sand Waves の抵抗に重要な役割を果すとして取り扱っていながら、その流水条件による複雑な変化によって、その形状の予測と抵抗要素としての役割についての考察が十分ではないことに起因するものと思われる。そこで本研究は抵抗の予測について実用的見地から、河床形状の予測とそれ应用しての抵抗の算定法について抵抗分離法の立場から若干の考察を加えたるものである。

2. 河床波の形状予測： i) 河床波の平均波高と伝播速度、この問題に関して著者は先に、平衡状態河床上の流れについての解析からこれらを予測する式を提案した。¹⁾ すなはち、変形せずに伝播する平衡状態河床上の流れについて、微小振幅の仮定により線型化して基礎式より、水深、摩擦速度等を場所と時間の関数として表示し、この結果を Brown 型の流砂量式と流砂の連続式とに代入するこにより、河床波の伝播速度を予測する式を得た。

$$\omega = \frac{2m+1 - \tau_c/\tau_m}{(1-E)(1-\tau_c/\tau_m)} \cdot \frac{\delta_{Bm}}{f_m(1-F_m^2)(1+\eta/R^2)} \quad (1)$$

ここに E: 砂の空隙率、 \bar{v} あり添字 m は平均量を表わす。

の(1)式と砂連や砂堆の場合における各部の流砂は零であり、
また遷移河床ではクレストでも谷でも流砂は零レーレン
条件により、若干の仮定を用いて波高について次の式を得

$$3. K = \frac{1}{h_m} = \frac{2(1 - \tau_c/\tau_m)}{2m+1 - \tau_c/\tau_m} \cdot |1-F_m^2|(1 + \eta/k) \quad (2)$$

$$k = 2\pi h_m (1 - F_m^2) / i_m \lambda \quad (3)$$

であり、入は河麻波の波長、△は波高である。

この(1), (2)式は実測値との対応も良好であり、さらに河床波が平冲河床から発生して遅延、崩壊過程を経て平坦となり、再び反砂堆が形成されると、一連の現象を定性的にも極めてうまく説明している。図-1は(2)式とYalin の予測³⁾との比較を示したもので、 F をパラメーターにして著者の線は Yalin の実線より実測値との適合性によつてを得られた³⁾。

ii). 河床波の波長、実測值によつて波高と波長の相関を調べてみると 0.2 ~ 0.4 程度の値であつて、両者の間には相関は無いと思われた。そこで波長については上での考察と全く別の方法で取り扱うことを必要とするため、次元解析の手法を用いることにする。

$\lambda = f(U, h, d, V, g, I)$ (4) を考え、これを元定理によつて整理するこゝによつて

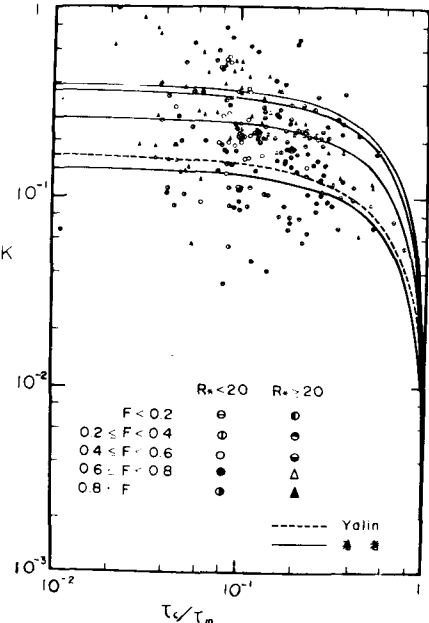


図-1. Yalin と著者の波高予測法の比較

次の無次元式を得る

$$\lambda/d \text{ or } \lambda/h = f(F, R_*, h/d) \quad (5)$$

ここで, d : 砂の粒径, R_* : 砂粒に関するレーレー数である。図-2は h/λ の、図-3は d/λ の R_* による変化を調べたものである。

この二つの図から R_* が $10 \sim 20$ を境にしてその特性が顕著に変化する。この境界は砂連と砂堆の区分を意味するものと思われる。以下限界値として $R_{LC} = 20$ を用いる。図-4 は λ/d と d/λ の関係を調べたものである。こ

の図から

$R_* > 20$

以上のも

のは散乱

れて ~ 3

が $R_* < 20$

以下のも

のはほど

一本の線

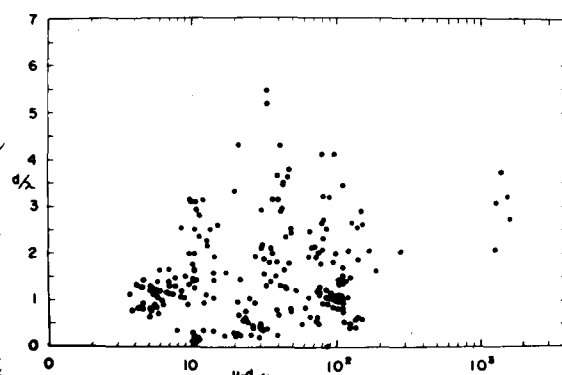


図-3. d/λ の R_* による変化

このことから砂連の波長に関する次のようすを経験式を得る。 $\lambda = 750 d$ (6)

これは先に Yalin の得た $\lambda = 1000 d$ とは一致しないが、係数についてはいざれが毎回かは速断できない。図-5 は λ/d と h/d の関係を調べたものである。この図から $R_* > 20$ の場合はほど長いまとまりを示しており、これらの束の平均線として砂堆の場合の波長を求める経験式として。 $\lambda = 5h$ (7)

これは Yalin の得た結果と一緒にしていい。反砂堆は開水路におけるもの現われるもの

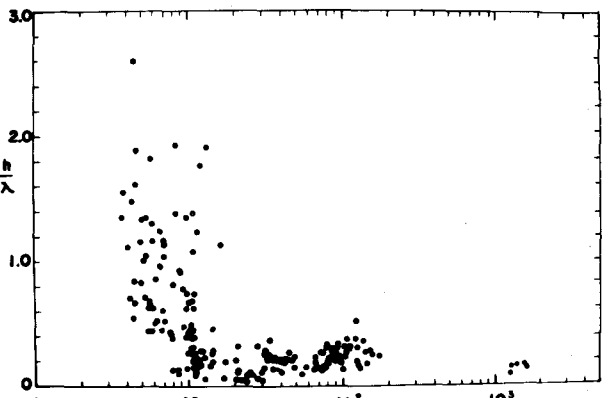


図-2. h/λ の R_* による変化

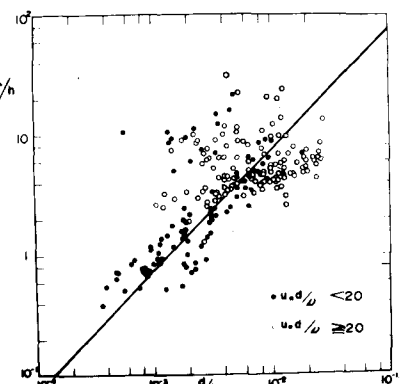


図-4. λ/d と d/λ との関係

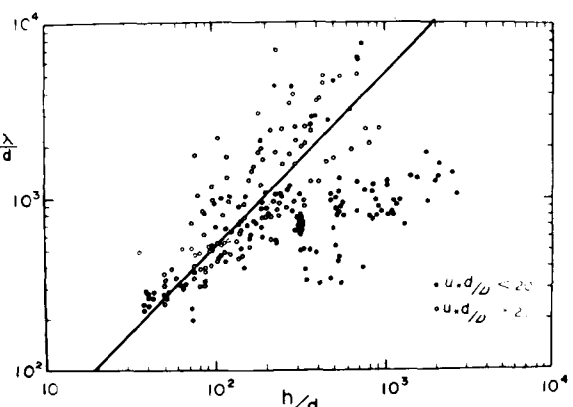


図-5. λ/d と h/d との関係

で、水面波が大きくなる影響を及ぼし、この意味でフルード数 F の効果が重要であることが知られていく。この意味から $F \approx 2\pi h/\lambda$ との関係を調べたものが図-6 であり、束は一本の線上にきれいに集まっている。このことから反砂堆の場合の波長を求める経験式として。 $\lambda = 2.3 \pi F^{3/5} h$ (8) を得る。また砂州や交互砂礫堆の場合には水流の三次元的運動について考えた必要があり、このようすの場合について著者は水面の横振動を考慮してより次式を得ている。⁴⁾

$$F^2 = \frac{1}{n\sqrt{2\pi}} \cdot \sqrt{\frac{\lambda}{B R}} \cdot \sqrt{\tanh \frac{2\pi h}{B}} \quad (9)$$

ここに λ は定数である。以上波長については実験的を基にして経験的予測法を試みたが、これらは河床形態の各領域により、多くの開水寸法と特長的下流ノルムが異なることを意味しており、今後の研究の方向を示唆するものとして興味深い。

3. 抵抗係数の算定： i) 平滑河床の場合、河床波が存在せず平坦の場合には、平板粗面上の流れをして扱われ、対数則が成立することとは実験的にもよく知られており。なぜか？

$$\gamma = U/U_K = 6.0 + 5.75 \log R/k_f \quad (10)$$

より γ を求められる。ここで R は絶対粗度であり、 k_f は砂質粗度である。また木路床に砂が堆積して河床波が形成されれば、程度で可能限り多量の流砂を運ぶ石原らの⁴⁾ $R_f = 10^{-2} \times T^{0.8}$ (11) による実験式を用いることにする。ここで T は無次元掃流力である。

ii) 剥離域を有する河床波の存在する場合。

a). 形状抵抗、この場合抵抗をクレスト下流の後流域に形成した形狀抵抗と、摩擦抵抗とに分離して求めることにする。図-7に示すように、河床形狀を三角形で近似することにし、クレスト上と水面波の最高突起位置との間で連続式は、 $h_1 U_1 = h_2 U_2 = h_m U_m = f$ (12)

であり、断面間運動量の保存を考慮する。

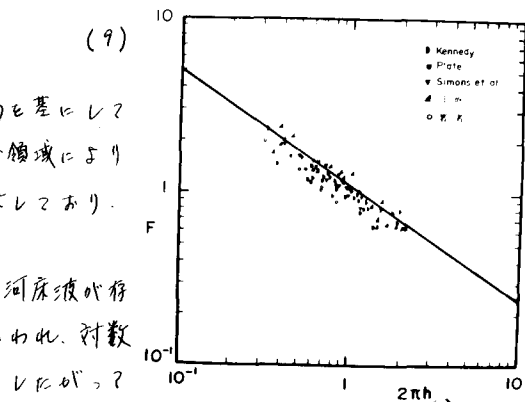


図-6. F と $2\pi h/\lambda$ との関係

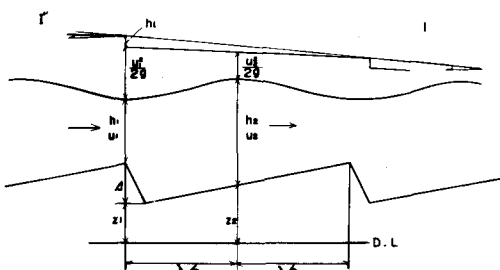


図-7. 記号説明図

$$w(h_1 + \Delta)^2 + 2\beta_1 U_1^2 h_1 = w h_2^2 + 2\beta_2 U_2^2 h_2 + 2\tau - w(h_1 + \Delta + h_2) \cdot (z_1 - z_2) \quad (13)$$

を得る。 $w = \rho g$: 水の単位体積重量、 ρ : 密度、 τ : 断面間の底面摩擦力（以下では省略する）

β : 運動量補正係数である。この河床を三角形で近似したことから次の近似が成立つものと思われる

$$2h_m = h_1 + h_2 \quad (14) \quad 2(z_2 - z_1) = \Delta \quad (15)$$

$$h_1/h_m = \eta \quad \dots \quad (16), \quad \Delta/h_m = K \quad (17)$$

以上の諸式より、 $4(K+2)\eta^3 + (K-12)(K+2)\eta^2 + 2\{2F_m^2(\beta_1 + \beta_2) - (K-4)(K+2)\}\eta - 8\beta_1 F_m^2 = 0$ (18)

を得る。断面間エネルギーの保存を考慮すればより、形状損失水頭 h_e は次のようになる。

$$h_e = \{(4\eta - 4 + K)/F_m^2 + \alpha_1/\eta^2 + \alpha_2/(2-\eta)^2\} \cdot U_m^2/2g \quad (19)$$

$$\therefore \alpha: はエネルギー補正係数であり、実験結果から \beta_1 = \beta_2 = 1.05, \alpha_1 = \alpha_2 = 1/1 \quad (20)$$

とする。 (18) 式の根を η とする。これを (19) 式に代入すると η により h_e は求められる。 (19) 式の η を ζ にすると、 $h_e = U^2 \cdot \zeta / 2g \quad \dots \quad (21)$

$$I' = h_e/\lambda = \frac{F_m}{2} \cdot \frac{h_m}{K} \zeta = \frac{F_m}{2} \cdot \frac{\Delta}{\lambda} \cdot \frac{\zeta}{K} \quad (22)$$

を得る。実際計算を行なう場合 (18) 式の根を求めると、計算手間の簡略化を考慮、 $\zeta' = \zeta F_m$ (23)

として ζ' を F_m を 10^2 メートルとした計算因数として示したもののが図-8である。

b). 摩擦抵抗、摩擦抵抗は河床波の波高で減少し、平埋に近づく場合先の平滑河床へスムーズに移行するものと考える。(10) 式と同様の対数則を用いることとする。 $F = F' V$ 摩擦抵抗を考慮した領域を

では一浪長中クレストから後流域の部分を除いたものの I'' を考へる。ここで後流域の長さを

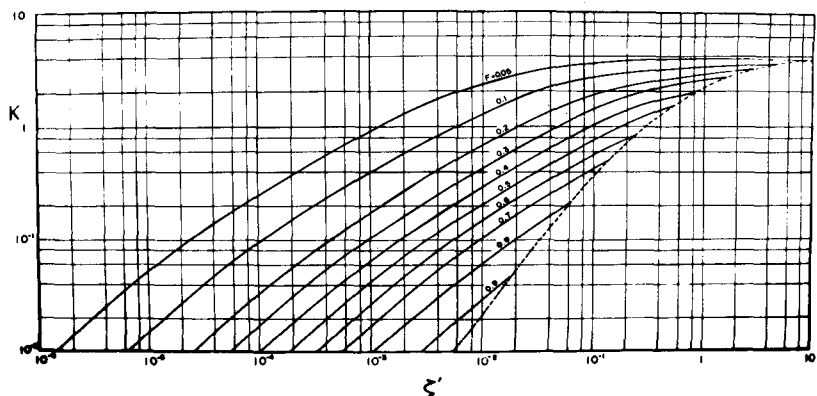
$$l_0 = \varepsilon A \quad (24)$$

とおくことにすれど、摩擦抵抗は次のようになる。

$$I'' = k_f / \lambda$$

$$= \frac{F_m^2 (1 - \varepsilon A / \lambda)}{6.0 + 5.75 \log(R/k_f)} \quad (25)$$

図-8. ζ' の計算図表



ここで ζ' に対する式(11)式を用い、 ε は ζ ～10の値を用いる。衝の計算の簡易化のためにこれを計算用表として示したもののが図-9である。以上のおとと I'' を加え全抵抗は次のように求められる。 $I = I' + I'' \quad (26)$

iii). 反砂堆の場合。この場合は河床波は存在するが、剥離域を有せばこれが大きめ持続である。したがって、抵抗の算定という実用的見地から対数則の適用が十分と思われる。しかし、この場合は流砂量が多くなるため、流砂濃度によるカルマン定数Kの変化を考慮する必要がある。これについては日野の簡易式³⁾を用いることとする。

$$F_m / \sqrt{I} = \gamma_m = 8.5 - \frac{1}{K} + \frac{2.3}{K} \log(R/k_f) \quad (27)$$

$$K/K_0 = 2 / \{ 1 + \sqrt{1 + 52 K_0 S} \} \quad (28)$$

$$S = (\sigma / g - 1) W C / U I \quad (29)$$

で抵抗は算定される。ここに $K_0 = 0.4$ 、W:砂の沈降速度である。(27)式の計算のためにKをメートルとして計算用表をしたもののが図-10である。

4. おむべ：以上によつて移動床開水路での抵抗は水深L、こう配工、粗径d、水路巾Bだけから若干の試算によつて簡単に算定することができる。算定の具体例およびその精度等については講演時に述べた。以上本研究は著者のこれまでの研究を取りまとめるとともにその一部に若干の修正を行つたもので、長間に亘つて終始ご指導頂いた京大防災研の芦田教授に深謝する次第です。

1) 田中, T.A.H.R., 1969. 2) Yalin, A.S.C.E. HY5, 1964. 3) Gill, A.S.C.E.; HY12, 1971.

4) 石原ら応用水理学上。 5) 日野. 土木学会論文集, 92, 1963.

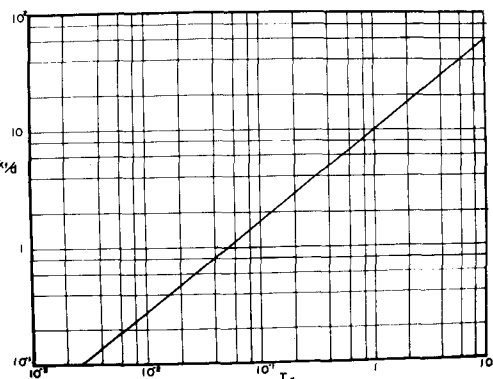


図-9. k_f の計算図表

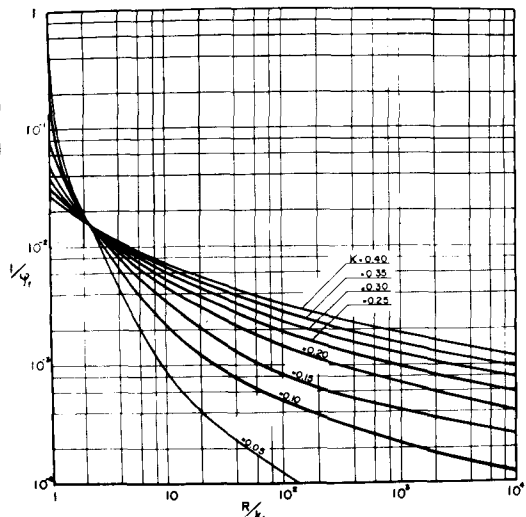


図-10 γ_f の計算図表